

PAPER DETAILS

TITLE: Agir Betonlardaki Güncel Gelişmelere Genel Bir Bakis

AUTHORS: Ilker Bekir TOPÇU,Ismail HOCAOGLU,Fatimah Mohammed Adil ADIL

PAGES: 385-399

ORIGINAL PDF URL: <https://dergipark.org.tr/tr/download/article-file/3067955>



Derleme Makalesi /Review Article

Ağır Betonlardaki Güncel Gelişmelere Genel Bir Bakış

Current Progresses in Heavy-weights Concrete: An Overview

İlker Bekir Topcu¹, İsmail Hocaoglu^{2*}, Fatumah Mohammed Adil Adil³

¹Eskişehir Osmangazi Üniversitesi, İnşaat Müh. Bölümü, Eskişehir ilkerbt@ogu.edu.tr

ORCID: <https://orcid.org/0000-0002-2075-6361>

²Afyon Kocatepe Üniversitesi, Bolvadin Meslek Yüksekokulu İnşaat Bölümü, Afyonkarahisar ihocao@aku.edu.tr

ORCID: <https://orcid.org/0000-0001-9294-1120>

³Eskişehir Osmangazi Üniversitesi, İnşaat Müh. Bölümü, Eskişehir adilfatma47@gmail.com

ORCID: <https://orcid.org/0000-0001-6779-9548>

MAKALE BİLGİLERİ

ÖZ

Makale Geçmişi:

Geliş 7 Nisan 2023
 Revizyon xxx
 Kabul 16 Mayıs 2023
 Online 20 Haziran 2023

Anahtar Kelimeler:

*Ultra yüksek performanslı beton,
 ağır beton, ağır agregalar,
 radyasyon, zırhlama*

Beton, bulunduğuuz yüzyılın en yaygın kullanılan yapı malzemesidir. Ağır beton ise özel üretilmiş bir beton çeşididir ve birim hacim ağırlığı yüksek olan betonları tanımlamaktadır. Ağır beton üretimi için ağır agregaların kullanılması gerekmektedir. Teknolojinin ilerlemesi ve artan insan nüfusu ile insanlar, radyoaktif ışın ve dalgalara daha çok maruz kalmaktadır. Üretilerek özel yapı malzemeleri ile bu etkiden kaçınmak mümkündür. Ağır betonlar bu tür ışınlara karşı oluşturdukları zırh etkisi ile canlıları korur. Hali hazırda birçok hastane ve askeri birimlerde kullanılan ağır betonlar üretimi kolay ve kesin çözüm sunan bir yöntemdir. Özellikle nükleer çalışmaların hız kazandığı bu dönemde, ağır betonlar yüksek birim ağırlıkları nedeniyle olası patlama, ışın yayımı, ayrıca yüksek sıcaklık ve ses etkisinden yüksek koruma sağlar. Bu çalışmanın amacı son yıllarda ağır beton ve ultra yüksek dayanımlı ağır beton ile ilgili yapılan çalışmalarındaki gelişmeleri takip etmektir. Arama indekslerinde yakın tarihli yapılan literatür araştırması sonucunda ağır betonlar ile ilgili genel bir bakış açısı sunan çalışmaya rastlanmamıştır. Literatürdeki bu eksigin kapatılması adına bu çalışmanın yapılmasına ihtiyaç duyulmuştur.

ARTICLE INFO

ABSTRACT

Article history:

Received 7 April 2023
 Received in revised form xxx
 Accepted 16 May 2023
 Available online 20 June 2023

Keywords:

*Ultra-high concrete (HWUHPC),
 heavy-weight concrete,
 heavyweight aggregates, barite,
 radiation, shielding*

Concrete is the most widely used building material of the current century. Heavy-weights concrete, on the other hand, is a specially produced type of concrete and defines concrete with a high unit volume weight. Heavy-weights aggregates must be used for heavy-weights concrete production. With the advancement of technology and the increasing human population, people are more exposed to radioactive rays and waves. It is possible to avoid this effect with special building materials to be produced. Heavy-weights concretes protect living things with the shield effect they create against such rays. Heavy-weights concrete, which is currently used in many hospitals and military units, is an easy and precise method to produce. Especially in this period when nuclear works accelerate, heavy-weights concretes provide high protection from possible explosion, radiation, and high temperature and sound effects due to their high unit weights. The aim of this study is to follow the developments in the studies on heavy-weights concrete and ultra-high strength heavy-weights concrete in recent years. As a result of the recent literature search in search indexes, no study has been found to provide a general perspective on heavy-weights concretes. This study was needed to close this gap in the literature.

DOI: 10.24012/dume.1279171

* Sorumlu Yazar:

Giriş

Modern teknoloji çağının en temel unsurları radyasyon ve radyoaktivite olmuştur. Son zamanlarda radyasyonun sağlık alanında, temel bilimlerde, endüstri alanında, askeri amaçlarda ve tarımda kullanılışı ile ileri derecede gelişmeler gözlemlenmiştir. Radyoaktif işinlar kanserojen olmakta ve canlı vücuduna zarar vermektedir. Bu nedenle araştırmacılar tarafından radyoaktif yapılarda olabilecek sizıntılarla karşı tehlikeli işinlardan korunmak amacıyla ağır betonlar geliştirilmiştir. Ağır betonlar röntgen odalarında, nükleer reaktörlerde, savunma amaçlı sığınaklarda, su altı petrol gaz ve petrol boru hatlarında, onkoloji hastanelerinde, köprü ayaklarında, beton ağırlıklı barajların gövde kısımlarında, istinat duvarları gibi devrilmeye ve kaymaya karşı güvensiz betonarme yapılarda ağırlık-devrilmeye ilişkisiyle devrilmeye karşı momenti artırmak amacıyla kullanılmaktadırlar [1].

Ağır beton, birim ağırlığı 2600 kg/m^3 'ün üzerinde olan ve genellikle özgül ağırlığı 3'den yüksek olan yoğunluklu kaba agregal kullanılarak üretilen beton olarak sınıflandırılmaktadır. Ağır agregalarla üretilen betonlar normal agregalar kullanılarak üretilen betonlara göre yaklaşık %50-100 daha yüksek birim ağırlığa sahiptir ve hafif agregali betonlara göre çok daha maliyetlidir. Ağır beton için kullanılan malzemelerin seçiminde en önemli faktör, yapıdaki bileşenlerin mevcudiyetidir. Ağır betonlarda yaygın olarak barit, manyetit, limonit, siderit, hematit gibi doğal agregalar da kullanılmaktadır. Ayrıca ağır metal oksit, demir, kurşun parçacıkları gibi sanayi atıkları olan yapay agregalarda kullanılabilmektedir [2].

Hibrit bir kurşun-çelik fiber sistem ile ağır betonun birim ağırlığını artırmaktadır. Çelik lifler, radyasyon kalkanına herhangi bir katkı yapmadan mekanik özelliklerini iyileştirirken kurşun lifler ise betonun mekanik özelliklerini iyileştirmeden bir radyasyon kalkanı oluşturmaktadır [3]. Ağır agregalar kullanıldığı takdirde, lineer zayıflatma katsayısı ve yoğunluğu artarken basınç dayanımı ve çekme dayanımı azalmaktadır. Ağır betonun E-modülü normalden daha yüksektir [4]. Portland çimentosunun kısmen değiştirilmesi için demir atık malzemelerinin (nano boyutlu manyetit (Fe_3O_4), yüksek çinko oksit içeriği süper ince çelik tozu ve ferritik duman tozu gibi) kullanımı üzerine çalışmalar yapılmıştır. Ağır betondaki aggrega bileşimi, değişkenlik nedeniyle radyasyon kalkanı özelliklerinde önemli bir değere sahiptir [5].

Radyasyondan korunmada kullanılacak betonlarda çimento içeriği, agregalar ve s/c oranı gibi faktörler önemlidir. Bu nedenle yapılan bir çalışmada, ağır manyetit betonun en büyük aggrega boyutu 12.5, 19 ve 25 mm, çimento içeriği ($C=350$, 400 kg/m^3) ve s/c oranı ($s/c=0.45$, 0.65) olarak belirlenmiştir. Ağır manyetit betonun γ (gama) radyasyonuna da karşı koruma özelliklerine sahip olduğu gözlemlenmiştir. Sonuç olarak aggrega boyutu arttıkça ve s/c oranı azaldıkça radyasyon iletim akışının azaldığı ve ağır manyetit betonun koruma kapasitesinin arttığı görülmektedir. Betonlara yüksek sıcaklık dayanımı

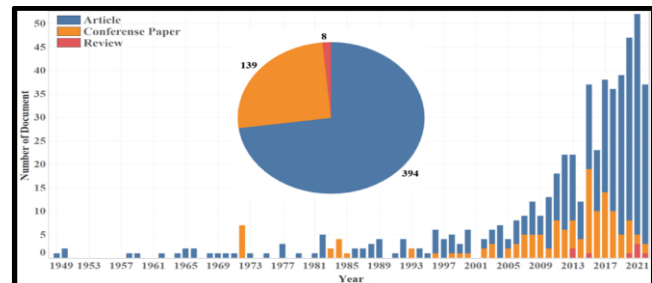
kazandırmak için manyetit ve silis kumu ilave edildiğinde radyasyondan korunma kapasiteleri açısından silis kumuna göre biraz daha iyi olduğu belirlenmiştir [6].

Günümüzde kromit (FeCr_2O_4), volframit [$(20\text{Fe}, 80\text{Mn})\text{WO}_4$], hematit (Fe_2O_3), titanyum dioksit (TiO_2), alümina (Al_2O_3), limonit [$\text{FeO(OH)}\cdot n\text{H}_2\text{O}$] ve barit (BaSO_4) kullanılarak hem yüksek sıcaklık dayanımı hem de iyi radyasyon kalkanı özelliğine sahip yeni tip ağır betonlar üretilmektektir. Hem benzeşim hem de deneyel sonuçlar parafin esaslı ve normal beton ile karşılaştırıldığında yeni ağır betonların, parafin esaslı ve konvansiyonel betona göre yüksek radyasyon zayıflatma kapasitesine sahip olduğu gözlemlenmiştir [7]. Günümüzde kurşun, γ radyasyon kalkanı için yaygın olarak kullanılmaktadır. Kurşunun toksik etkisi olduğundan sanayide zararlı maddelerin kullanımını kısıtlayan EU RoHS 1 direktifine göre kurşun kullanımı sınırlı olmaktadır. Bu nedenle alternatif malzeme araştırma ve geliştirme çalışmaları devam etmektedir.

Bu çalışmanın amacı son yıllarda ağır beton ve ultra yüksek dayanımlı ağır beton ile ilgili yapılan çalışmalarındaki gelişmeleri takip etmektir. Literatürdeki çalışmalar incelendiğinde ağır betonlar ile ilgili genel bir bakış açısı sunan çalışmaya rastlanmamıştır. Literatürdeki bu eksikin kapatılması adına bu çalışmanın yapılmasına ihtiyaç duyulmuştur.

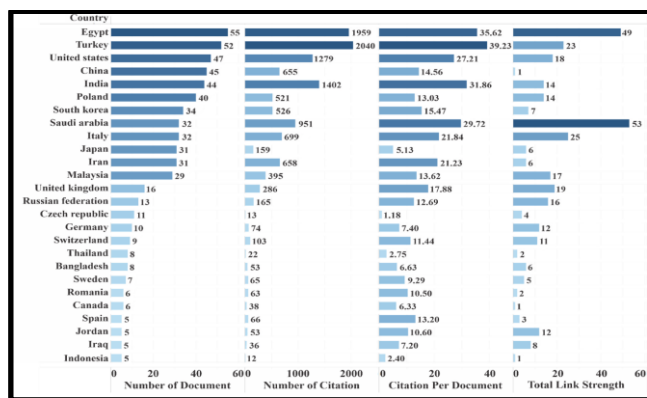
Literatür Araştırması

Günümüzde bilim insanları radyasyonun insan ve çevre sağlığı üzerindeki olumsuz etkilerinin daha çok farkına varmışlardır. Bunun sonucu olarak bilim dünyası beton kompozitlerin radyasyon kalkanı olarak kullanılabileceğine dair güncel çalışmalarla yönelikmiştir. Şekil 1, 1949-2022 yılları arasında radyasyon kalkanı olarak beton kompozitlerin kullanımı hakkında yapılan bilimsel çalışma sayılarını göstermektedir. Şekil 1 incelendiğinde 1950'li yıllarda radyasyon zırhı olarak çimentolu sistemlerin kullanımı ile ilgili kısıtlı sayıda araştırma yapıldığı görülmüştür. Ancak son yıllarda özellikle radyasyon probleminin farkındalığının artması ile bilim insanları radyasyona karşı dayanıklı betonların üretilmesine yöneliklerdir. 2023 yılı hariç 2022 yılına kadar çimento veya beton radyasyon kalkanı konularında toplam 541 araştırmancının yaptığı gözlenmiştir [8]-[11].



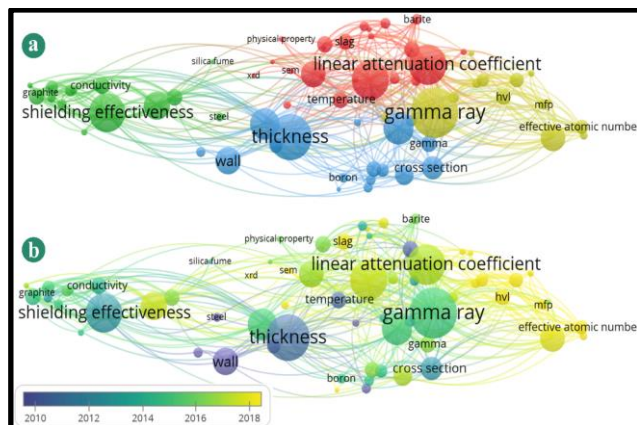
Şekil 1. Scopus tarafından taranan radyasyona dayanıklı betonlar ile ilgili yayınlanan araştırmalar [1].

Ülkemiz radyasyona dirençli beton üretimi üzerine en çok araştırma yapan ülkelerin başında gelmektedir (Şekil 2). Türkiye bilim insanları tarafından bu konuya ilgili (2022 yılı sonuna kadar) toplam 52 araştırma yapılmış olup, ilgili çalışmalara toplam 2040 atıf yapılmıştır.



Şekil 2. Radyasyon kalkanı olarak beton kompozitlerin kullanımı konusundaki yayınlanan araştırmaların ülkelere göre değişimi [1].

Şekil 3 literatürde yapılan araştırmaların anahtar kelimelerini ve radyasyon kalkanı olarak çimentolu kompozit malzemelerinin kullanıldığı çalışmalarındaki anahtar kelimeleri karşılaştırmaktadır. Şekil 3 incelendiğinde en çok araştırma gama ışınları, doğrusal zayıflama katsayısı, kalkan katsayısı ve beton örtü kalınlığı üzerine yapılmıştır.

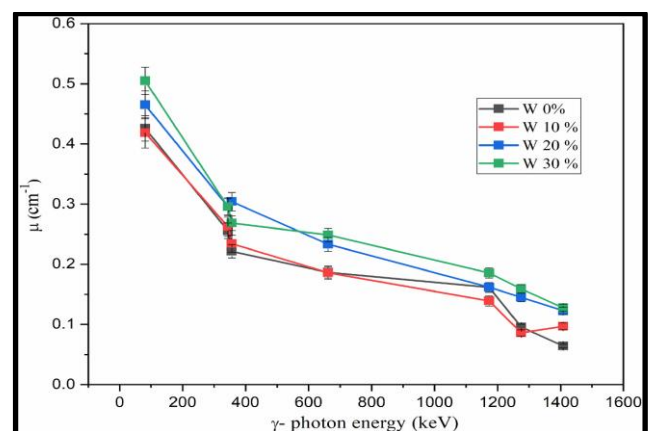


Şekil 3. Anahtar kelime haritası (a) ve radyasyon kalkanı olarak çimento kompozitlerinin kullanıldığı araştırmalarda anahtar kelimelerin (b) üst üste çakıştırılması ile meydana gelen görsel harita [1].

Farokhzad vd. [4], yaptıkları çalışmada Farklı yüzdelerde ferrofosfor ve normal agregalar, çelik tozu ve nano silika tozu ile yapılan ağır beton numunelerinin basınç dayanımını incelemiştir. Belirtilen malzemelerin farklı yüzdelere sahip 60 adet 15 cm'lik küp beton numunesi üretilmiş ve

basınç dayanımları 28 günde aynı yükleme hızında ölçülmüştür. Basınç dayanımı belirlendikten sonra, numunelerin lineer zayıflama katsayısı sezym-137 kaynağından γ ışını ve radyasyon ile belirlenmiştir. Sonuçlar, basınç dayanımını arttırmada en etkili faktörlerin sırasıyla ferrofosfor agregaları, nano silika tozu ve çelik tozu olduğunu göstermektedir. Doğrusal zayıflama katsayısını arttırmada en etkili faktörler sırasıyla ferrofosfor agregası, çelik tozu ve nano silika tozudur. En yüksek basınç dayanımları, 28 günde %100 ferrofosfor, %20 çelik tozu ve %5 nano silika ile yapılan ve yaklaşık 52 MPa basınç dayanımı elde edilen numunelerde gözlenmiştir. En düşük basınç dayanımı, %25 ferrofosfor, %10 çelik tozu ve nano silika olmadan elde edilen 25 MPa dayanıma sahip olan numunede elde edilmiştir. Ayrıca numunelerin lineer zayıflama katsayısı deneyi sonuçlarına göre, en yüksek lineer zayıflama katsayısı % 100 ferrofosfor, % 30 çelik tozu ve % 5 nano silika ile yapılan numunelere ait olup, en düşük lineer zayıflama katsayısı 0,295 olup, % 8 nano silika ile ferrofosfor ve çelik tozu kullanılmadan yapılan numune ise bu değer 0.1514'dir.

Mahmoud vd. [12], γ -ışını yayan fotonlar için birçok radyoaktif izotop (Ba-133, Na-22, Eu-152, Cs-137 ve Co-60) kullanarak 81 keV'den 1408 keV'ye genişletilmiş enerjinin beton üzerindeki etkilerini araştırmışlar, 662 keV'lik γ -foton enerjisinde metalik atık içeriğinin ağırlıkça %0 ile %30 arasında yükselmesi ile zayıflatma katsayısı (μ) değerinin yaklaşık olarak %33 oranında bir artış gösterebileceğini gözlemlemişlerdir (Şekil 4) [12].



Şekil 4. Betonlarda metal atık oranı ile zayıflatma katsayısı arasındaki ilişki [12].

Azeez vd. [5], yaptıkları çalışmada çelik cürüfu, çelik bilye ve demir cevheri içeren farklı yüksek yoğunluklu iri agregalar kullanılarak hazırlanan ağır beton karışımının radyasyondan korunma performansını incelemiştir. Normal ağırlıklı kireçtaşlı agregasyon, bazı ağır beton karışımlarında yüksek yoğunluklu agregaların kısmen değiştirilmesinin yanı sıra kontrol karışımında da kullanılmıştır. Normal ve yüksek yoğunluklu iri agregaların

farklı kombinasyonları göz önünde bulundurularak ve çimento içeriği ve s/c oranı sabit tutularak toplam 19 ağır beton karışımı hazırlanmış ve bunların kuru yoğunluğu, basınç dayanımı ve nükleer radyasyon tepkisi incelenmiştir. Normal ağırlıkta kireçtaşlı agregat içeren kontrol karışımı dışında, 18 ağır beton karışımının tamamında kabul edilebilir ($2600\text{-}3563 \text{ kg/m}^3$ aralığında) kuru birim ağırlığa ulaşılmış, 26-45 MPa aralığında değişen karışımın basınç dayanımının, tümünün yapısal bir betonun gereksinimlerini karşıladığı görülmüştür. Radyasyon önleme performansı, iri aggrega tipine ve beton karışımının dayanım sınıfına bakılmaksızın beton karışımının birim ağırlığından etkilenmektedir. Deneysel verilere dayalı olarak, radyasyon kalkanı performansının göstergesi ile betonun birim ağırlığı arasındaki korelasyonlar ile yüksek derecede uyum elde edildiği bildirilmiştir. Gasthi vd. [13], yüksek fırın cürüflü ve normal betonların gama ve nötron radyasyonları uygulandığında etkilerini araştırmışlardır. Mineral katkılı betonlarda nötron ve gama işinlarına karşı daha yüksek radyasyon direnci gözlemlenmiştir [13].

Mehrnejad [14], çalışmasında radyasyondan kaynaklanan çeşitli zararlı etkilerden korunmak için betonun zırhlamasında kullanılabilen en uygun malzemeleri belirlemiştir. Betonun x ve γ işinleri geçirmemesi için barit aggregası (yüksek yoğunlukta), nötron parçacıklarının olumsuz etkilerini azaltmak için ise bor, bor-karbit ve galena malzemeleri kullanılmıştır.

Bakırhan [15], çalışmasında maden ocaklarından çıkan kurşun madeni atıklarından oluşan aggregalar ile üretilen ağır betonların radyasyon zırhlama özelliğini incelemiştir. Beton karışımında kurşun madeni atıkları, manyetit, barit gibi aggregalar %25 ve %75 değerler aralığında kullanılarak C16/20, C25/30 ve C35/45 sınıfı betonlar üretilmiştir. Araştırmasında radyasyon enerjisi artmasına karşılık olarak kütle azaltma katsayısında düşüş olduğu gözlemlenmiştir. Ayrıca manyetit-pasa aggregası karışımı ile hazırlanan farklı dayanımlı betonlar üzerinde 4 farklı enerji seviyesinde radyasyon soğurma katsayıları incelenmiş ve tüm enerji seviyeleri için karışımında sadece manyetit aggregasının kullanıldığı ve en yüksek radyasyon soğurma katsayısı C35/45 sınıfındaki betonda elde edilmiştir.

Demirci [16], çalışmasında s/c oranının 0.4, 0.5 ve 0.6 olduğu, pirit, krom, manyetit ve normal aggregaya üretilen ağır betonlar üzerinde araştırma yapmış, s/c oranının arttığında; basınç dayanımı, E-modülü ve artan enerji ile soğurma katsayılarını azalttığı sonucunu elde etmiştir. Ayrıca manyetit aggregali betonların radyasyonu en iyi soğuran beton olduğunu bildirmiştir. Kharita, vd. [17], yaptığı çalışmada karbon tozu ilavesinin hematit radyasyon kalkanlı betonunun özellikleri üzerindeki etkisini incelemiştir. Koruyucu özellikler üzerindeki etkilerini araştırmak için hematit aggregaları ile hazırlanan betona farklı yüzdelerde karbon tozu ilave edilmiş, hazırlanan betonların mekanik ve radyasyon zayıflama özellikleri belirlenmiştir. Betona %6 (ağırlıkça) karbon tozu ilavesinin beton üzerindeki dayanımı yaklaşık %15 artırabilecegi

bulunmuştur. Artan karbon tozu içeriği ile hem γ hem de nötronlar için koruma etkinliği azalmıştır. Ancak hem γ işinleri hem de nötronlar için koruma etkinliğindeki bu kayıp, %6'lık karbon tozu ilavesi için ölçüm hataları aralığında olmaktadır. Deneysel ölçütler için simülasyonlar, karbon tozunun nötronlara karşı koruma etkinliği üzerindeki etkilerini araştırmak için Monte Carlo (MCNP) kodu kullanılmıştır. Simülasyon ve deneysel sonuçlar arasında iyi bir uyum yakalandığı bildirilmiştir.

Nikbin, vd. [18] çimento esaslı kompozit malzemelerde çimento yerine %8 oranında nano-TiO₂ konulması ile gama radyasyonu işinlarının önemli ölçüde engellenebileceği sonucuna ulaşmışlardır [18].

Rezaei Ochbelagh, vd. [19], yaptığı çalışmada 59,5 ve 661 keV foton enerjilerinde toplam kütle zayıflama ve doğrusal zayıflama katsayıları, yarı değer kalınlıkları, etkin atomik sayıları, etkin elektron yoğunlukları ve atom kesitlerini ölçülmüştür. Ölçülen ve hesaplanan değerler karşılaştırılmıştır. Kaydedilen değerlerin enerji ve beton bileşimi ile bir değişim gösterdiği de bildirilmiştir. Ayrıca; kurşunun mekanik özellikleri ve radyasyona etkisi betonun korunması da incelenmiştir. γ işini radyasyonunun beton basınç dayanımı üzerindeki etkisini incelemek için çeşitli numuneler hazırlanmıştır. Geliştirilen betonun yoğun yapısı SEM mikroskopu ile doğrulanmıştır. Farklı kurşun yüzdeleri ile karıştırılan konik girişin γ işini koruması da incelenmiş, %90 kurşun tozu ve %10 çimento içeren betonun en yüksek dayanım ve γ işini koruyucu özelliklerine sahip olduğu sonucuna ulaşılmıştır.

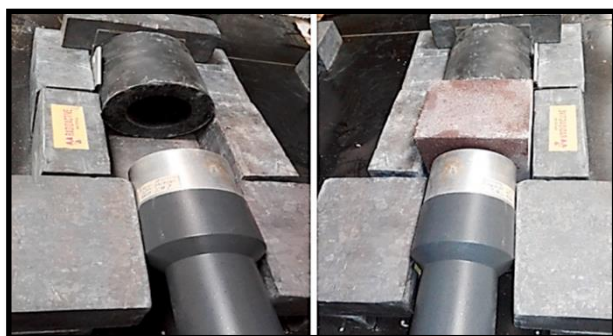
Akkurt, vd. [20], çalışmasında farklı karışımlarda (%0, %10, %30 ve %50) aggrega olarak zeolit içeren beton için doğrusal zayıflama katsayıları ölçülmüştür. Dört beton blok üzerinde ölçülen doğrusal zayıflama katsayısı, zeolit miktarının artmasıyla azalmıştır. Betonda aggrega olarak zeolit ilavesinin radyasyondan korunma amacıyla kullanılacak alternatif bir seçenek olmadığı görülmüştür.

Korkut, vd. [21], yaptığı çalışmada kolemanit, üleksit ve tinkel cevherlerinin nötron koruyucu özelliğini incelemiştir. Numuneler mikroskopik kesitlerle incelenmiş ve ayrıca toplam makroskopik kesitleri simüle etmek için FLUKA Monte Carlo kodu kullanılmıştır. Artan bor atomu konsantrasyonlarının seçilen cevherlerin nötron koruyucu özelliğini güçlendirebileceği bildirilmiştir. Revuelta, vd. [22], yaptığı çalışmada ağır betonun üretiminde ayırmayı incelemiştir. Farklı oranlarda akişkanlaştırıcı ve barit aggregası kullanarak ağır beton üretmişlerdir. Yapıtları araştırmada %1,8 kimyasal katkı konularak kendiliğinden yerleşen beton özelliği gösteren ağır beton üretmişlerdir. Sadece taze betonda kusmalar gözlemlenmiştir. Yine ağır beton üretiminde ayırmaya oluşmaması için ince taneli malzeme miktarının 160-240 lt/m³ olması gerektiği sonucuna da ulaşmıştır. Çaklı [23], çalışmasında ağır betonların E-modülünü incelemiştir. Barit aggregası kullanılarak, en büyük dane çapı 16 mm olan farklı s/c (0.63, 0.54 ve 0.46) oranlarına sahip 3 farklı ağır beton üretmiş, üretilen ağır betonların basınç dayanımlarının

sırasıyla 46.69 MPa, 63.69 MPa ve 62.24 MPa olduğu gözlenmiştir [23]. Üretilmiş ağır betonların E-modüllerinin ACI, TS 500 ve CEB'de tanımlanan E-modülü değerlerine oldukça yakın olduğu, bu nedenle barit agregali beton tasarımindan ACI 318-95, TS 500 ve CEB'deki E-modülü formüllü hesaplanabileceği gözlenmiştir.

Güreş [24], çalışmasında, Kahramanmaraş Şekeroba yöresinde bulunan barit agregasının ağır beton üzerindeki etkisini araştırmıştır. Ağır beton üretiminde kullanılacak olan Şekeroba barit agregalarının yoğunluğu 4.0 kg/m^3 'ün üzerinde olup su emme değerleri sırasıyla %0.4 ve %0.3 olarak belirlenmiştir. Bu özelliklere sahip barit agregalarının ağır beton üretiminde kullanılmasında uygun olduğu sonucuna varılmıştır. Karışımda kullanılan agregaların aşınmaya karşı direncinin düşük olması nedeniyle betonun kaliplara düzgün yerleştirilmesine dikkat edilmesi gerektiğini, ayrıca taze betonun işlenebilirliğinde olumsuz bir etkinin olmaması için karışım tasarım ve üretimde önlemler alınması gereği ifade edilmiştir. Khan, vd. [25], yaptıkları çalışmada kumun kısmen ultra ince parçacıkları olan ve kumdan yaklaşık iki kat daha ağır olan hematit tozuyla değiştirilmesiyle beş ağır ultra yüksek performanslı beton karışımını değerlendirmiştir. Bu karışımın kuru yoğunluğu, yaklaşık 2600 kg/m^3 ile 2900 kg/m^3 arasında değişmiştir ve bunların tümü, ağır ağırlık kategorisi altında değerlendirilmek için en düşük kuru yoğunluk gerekliliğini karşılamaktadır.

Ultra yüksek dayanımlı ağır beton karışımı farklı kuru yoğunluklara sahip olmalarına rağmen, mekanik özellikleri önemli ölçüde değişimmemiş ve kum ikamesinin olumsuz bir etkisi görülmemiştir. Radyasyon kalkanı, karışımın kuru yoğunluğundaki artışla birlikte artmıştır. Bununla birlikte, ultra yüksek dayanımlı ağır betonun γ radyasyon kalkanı, aynı kuru yoğunluğa sahip olan geleneksel ağır betonuna göre daha yüksek olduğu bulunmuştur. Bu da mikro yapı yoğunluğunun, beton yoğunluğunun yanı sıra radyasyon kalkanlamasını da geliştirdiğini göstermektedir. γ radyasyon kalkanı deney düzeneğinin numune içeren ve içermeyen durumu Şekil 5'de gösterilmiştir.



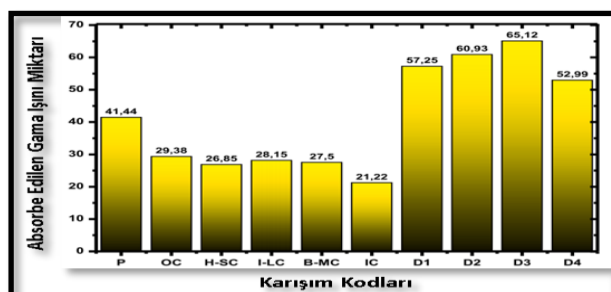
Şekil 5. γ radyasyon kalkanı deneyi, numune konmamış (sol) ve numune konulmuş hali (sağ) [25].

Son yıllarda ağır beton mekanik özelliklerini iyileştirmek, radyasyon koruması sağlamak, iyi işlenebilirlik, yüksek dayanım ve dayanıklılık, yüksek çatlama direnci, düşük geçirgenlik ve düşük büzülme için çeşitli çalışmalar yapılmıştır. Bu belirtilen özelliklerin geliştirilmesi adına El-Sayed [26], yaptığı çalışmada %15 pırınc kabuğu külü, %3 polietilen, %0.3 borik asit, %3 nano silika ve yüksek oranda su azaltıcı yerine, manyetitin kaba ve ince agregası kullanılarak altı karışım hazırlanmıştır. Tüm karışımalar $0.4'$ lük bir s/c oranı ve 440 kg/m^3 çimento dozajı kullanarak ultra yüksek dayanımlı ağır betonun taze haldeki ve sertleşmiş haldeki mekanik özelliklerini incelenmiştir. Deneyel sonuç olarak, %3 polietilen ile manyetit aggrega karışımının mekanik özellikleri benzer beton karışımına göre iyileştirdiği ancak %15 pırınc kabuğu külü içeren manyetitin basınç dayanımının, çimento ikame malzemeleri olarak kullanılan %3 polietilen ile manyetitten daha yüksek olduğunu göstermiştir. Bu nedenle, %3 polietilen içeren manyetit, radyasyondan korunma için ağır betonun mekanik özelliklerini geliştirdiği anlaşılmıştır. Bu çalışmada, genel olarak, %3 polietilenli manyetitin nötron radyasyon kalkanı (Şekil 6) için optimum beton karışımı olduğunu bulunmuştur.



Şekil 6. Betonlardaki nötron radyasyon deneyi [13].

Aygün, vd. [27] yaptıkları çalışmada, farklı tipte mineraller (krom cevheri, hematit (Fe_2O_3), titanyum oksit (TiO_2), limonit [$\text{FeO(OH)}\text{nH}_2\text{O}$] ve siderit (FeCO_3), krom oksit (Cr_2O_3) ve mangan oksit (MnO_2)) nötron ve γ kalkanlama etkinliği açısından incelemiştir, geliştirilen betonların mekanik deneylerinde 30 MPa'ya kadar dayanıma sahip olduğu gözlemlenmiştir. Sıcaklık ve dayanım deneylerinde sonuçların istenilen seviyeye kadar çıktıığı bildirilmiştir (Şekil 7).



Şekil 7. Karışımın emdiği γ ışını miktarları [27].

Elde edilen sonuçlar parafin esaslı beton, sıradan betonlar ve bazı ağır betonlar ile karşılaştırılmıştır. Hem teorik hem de deneyel hesaplamalar, tüm yeni ağır betonların, referans numunelerden daha yüksek oranlarda γ ve nötron radyasyonu emdiğini göstermektedir. Özellikle, D3 numunesi, %55 krom cevheri içeren maksimum nötron zayıflatma doz değerine sahiptir. D2 ise üstün γ koruyucu betondur ve bu karışım %60 krom cevheri, %10 hematit ve %5 TiO₂ içermektedir. Bu çalışma ile yeni geliştirilen ultra yüksek dayanıklı ağır betonların, nükleer enerji uygulamaları için alternatif koruyucu malzemeler olabileceği tespit edilmiştir.

Ultra Yüksek Performanslı Beton

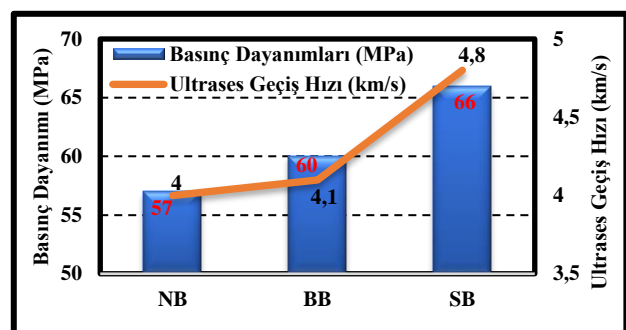
Son zamanlarda, ultra yüksek performanslı beton (UHPC), özel bileşimi nedeniyle çok yüksek dayanımı (150 MPa'nın üzerindeki basınç dayanımı), yüksek E-modülüne, kırılma tokluğuna ve mükemmel dayanıklılık özelliklerine sahip yeni bir yapı malzemesi olarak ortaya çıkmaktadır. UHPC'nin mekanik özellikleri ve dayanıklılık açısından sağlamlığının anahtarı, çok miktarda çimento ve ultra ince mineral dolgu, çok ince kuvars kumu, çelik lifler kullanılarak elde edilen yüksek yoğunluklu mikro yapısıdır. Düşük su/bağlayıcı oranı ve matristen kaba agregaların çıkarılması UHPC'nin yüksek performanslı betondan (HPC) çok daha üstün mekanik ve dayanıklılık özelliklerine sahip olduğu rapor edilmiştir. HPC ile karşılaştırıldığında, UHPC'nin basınç dayanımı 2-3 kat daha yüksek, eğilme dayanımı 2-6 kat daha yüksek, E-modülü 1.5 kat daha yüksek, permabilitesi 50 kat daha düşük, klorür iyonu difüzyonu 25 kat daha düşük ve korozyon oranı 8 kat daha düşüktür. UHPC, mükemmel mekanik özelliklere ve dayanıklılık performansına sahip akıllı bir yapı malzemesi olarak nükleer santrallerde yapı elemanlarının yapımında kullanılmaktadır. Bununla birlikte, UHPC nükleer radyasyonlara maruz kalmaya karşı hassastır. Bir malzemenin nükleer radyasyona karşı korunmasını etkileyen ana faktör, daha önce açıklanlığı gibi yoğunluğu olduğundan, bir nükleer santralde kullanılabilen UHPC karışımının HWC kriterlerini karşılaması gerekmektedir. Kapsamlı bir literatür araştırması, UHPC'nin radyasyon zırhlamadaki etkinliğinin yanı sıra mekanik özellikler ve dayanıklılık özellikleri açısından performansı hakkında çok az sayıda çalışmanın rapor edildiğini göstermektedir [3].

Gökçe [28], yaptığı çalışmada ağır, yüksek performanslı fiber takviyeli çimento esaslı kompozit (HPFRCC) karışımı geliştirmiştir. HPFRCC karışımı, bir durumda ince agrega olarak barit kullanılarak ve başka bir durumda ince agrega olarak granüle demirli atık kullanılarak ayrı ayrı hazırlanmıştır. HPFRCC karışımının mekanik özellikleri, ince bir agrega olarak silika kumu-kuvars tozu karışımından oluşan referans UHPC karışımınıyla karşılaştırılmıştır. Granüle demirli atık agrega içeren HPFRCC karışımın, reolojik ve mekanik özellikler açısından gelişme göstermeye olduğu bildirilmiştir. Ancak HPFRCC karışımında ince agrega olarak barit kullanılması mekanik özellikleri

azaltmaktadır. Çalışmada sonuç olarak tüm HPFRCC karışımı için radyasyon korumasına yönelik performansta önemli bir artış olduğu belirlenmiştir.

Ağır Betonların Özellikleri ve Kullanım Alanları

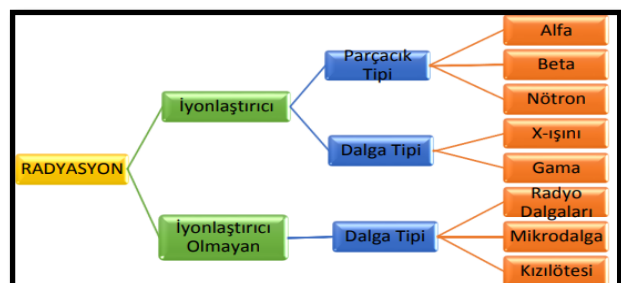
Bu başlık altında ağır betonların son yıllarda keşfedilen, araştırılan ve literatüre kazandırılan bazı özelliklerinden bahsedilecektir. Yapısal anlamda birçok farklı işlevi olan ağır betonların, bilinmeyen özellikleri ve genişleyen kullanım alanları bu kısımda incelenecaktır. Gümüş, vd. [29] çalışmalarında ağır betonların gözenek boşuklarını incelemeye ultrases geçiş hızı deneyi uygulamıştır. Bu kapsamda, normal beton (NB), barit içeren ağır beton (BB), siderit içeren ağır beton (SB) üretilerek basınç dayanımları ve ultrases geçiş hızı değerleri Şekil 8'de verilmiştir. Şekil incelemiştir. Basınç dayanımı arttıkça ultrases geçiş hızının arttığı gözlemlenmiştir. Dolayısı ile ağır agregalı betonların basınç dayanımı yüksek, boşluk oranı ise düşük olmaktadır.



Şekil 8. Basınç dayanımları ve ultrases geçiş hızı [29].

Radyasyon

Radyasyon en genel anlamıyla, maddenin elektromanyetik dalgalar şeklinde yayılmasıdır. Madde ile etkileşimlerine göre radyasyon çeşitleri Şekil 9'da gösterilmiştir [30]. Parçacık tipi radyasyonu Alfa (α), Beta (β) ve nötron kozmik ışınlarından oluşturmaktadır. Dalga tipi radyasyon ise titreşim yoluyla ilerleyen kütlesiz enerjilerin yayılmasıdır. İyonlaştırıcı ve iyonlaştırıcı olmayan dalga tipi radyasyonlar ışık hızıyla eşdeğer hızda yayılmaktadır [31].



Şekil 9. Madde ile etkileşimine göre radyasyonlar [30].

Burada hedeflenen radyasyonla insanlar üzerinde olusabilecek zararlı etkileri azaltmaktadır. Zararlı etkileri azaltmak için radyasyona neden olan kaynak ile insan arasına radyasyon emici yerleştirilerektedir. Zararlı ışınlarının diğer cisimlere çarpması sonucu ortaya çıkan nötron ışınları ise küçük atom ağırlıklı elementler ile olumsuz etkileri azaltılmaktadır [32].

Zırhlamadaki Zararlı Işınlar

Radyoaktif ortamlarda zırhla korunması gereken zararlı ışınların özelikleri aşağıda açıklanmaktadır:

Alfa (α) Parçacıkları

α parçacığı, nötron-proton oranı çok düşük olduğu durumda yüksek enerjiye sahip helyum çekirdekleridir. Çoğunlukla atom numarasının yüksek olduğu izotoplarda gözlenen bu olay çekirdektен α parçacıklarının kopmasıyla oluşur. Günümüz teknolojisinde α parçacıklarını çok ince tabakalı maddeler ile durdurulabilmektedir. α parçacıklarının enerjilerini kolay kaybetmeleri nedeniyle dış radyasyon tehlikeleri bulunmamakta olup 10 cm'lik bir hava tabakası yeterli zırh olarak kabul edilmektedir [29].

Beta (β) Parçacıkları

β parçacıkları α parçacıkları gibi geçikleri maddeler içerisinde iyonlaşmaya neden olmaktadır. β parçacıkları α parçacıklarından daha hafiftirler. Bu nedenle iyonlaşma kapasiteleri de α parçacıklarına göre daha düşüktür. β parçacıklarının bir diğer özelliği ise bir madde içerisinde oldukça yüksek oranda nüfuz edebilme kapasitesine sahip olabilmeleridir. Günümüzde β parçacıklarının olumsuz etkilerinden korunmak için alüminyum levhalar kullanılmaktadır [29].

Nötronlar

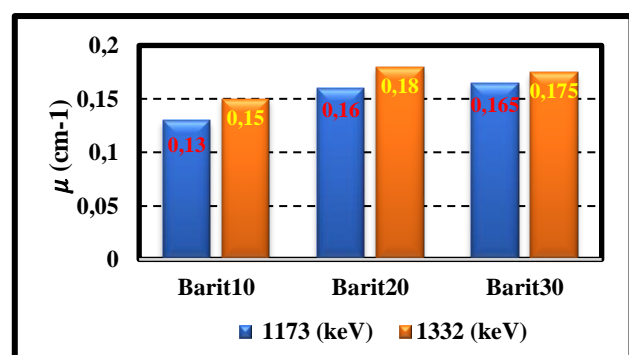
Yüksüz durumdaki nötron parçacıkları maddeler içerisinde yüksek oranda nüfuz edebilmektedirler. Nötronlar doğrudan iyonlaşma özelliğine sahip olmasalar da atomlar ile etkileşiklerinde β , α , γ ve x ışınları gözlemlenmektedir. Nötronları parafin, su ve beton küteleri ile durdurulabilmektedir [29].

Gama (γ) ve Röntgen (x) Işınları

Elektromanyetik ışınlar olan γ ve x ışınlarının dalga boyları (0.1-100 Å) arasında oldukça düşük seviyededir. x-ışınlarının frekansı görünür ışığın frekansından 1000 kat daha büyütür. x-ışınları dalga ve tanecik özelliklerini göstermeleri nedeniyle çift karakterlidirler. Tanecik özellik gösteren radyasyona foton denilmektedir. Gama ışınları ise

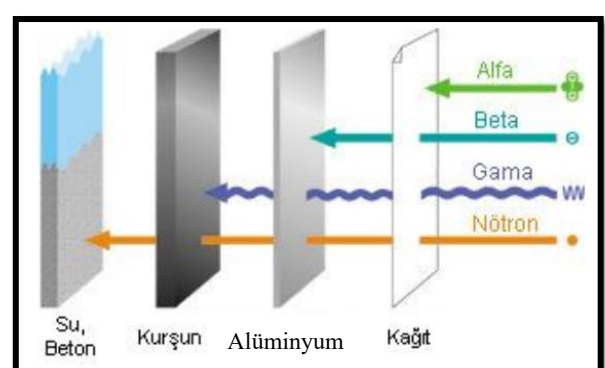
radyoaktif izotropların ayrışmasıyla ortaya çıkmaktadır. Zırhlamanın amacı γ ve x ışınları ile nötronlara karşı korumadır.

Kullanılacak zırhın seçimi ve zırh kalınlığı; malzemenin radyasyon zayıflatma katsayısı ve malzemenin kimyasal bileşimine, radyasyon türü ve enerjisine bağlı olmaktadır [33]. Radyasyon zırhlamasında ağır aggrega kullanımının radyasyon zırhlamaya etkileri incelenmiş, ağır aggrega olarak farklı oranlardaki katsayıları Şekil 10'da yer almaktadır ve beton içerisinde bulunan barit arttıkça betonun radyasyon soğurma özelliği de artmaktadır [23],[33].



Şekil 10. Zayıflatma katsayılarının enerji grafiği [33].

Şekil 11'de α , β , γ ve nötron gibi radyoaktif ışınların geçebildiği ve etki edebildiği elementler gösterilmektedir. Alfa ışınları insan teninden geçemeyen beta ışınları insan tenini geçerek alüminyumda soğurulmaktadır. γ ışınları ise alüminyumda geçerken kurşun elementini geçmemektedir. Nötronlar ise bütün bu elementlerden geçerken ağır aggrega içeren ağır betondan geçemektedir [34].



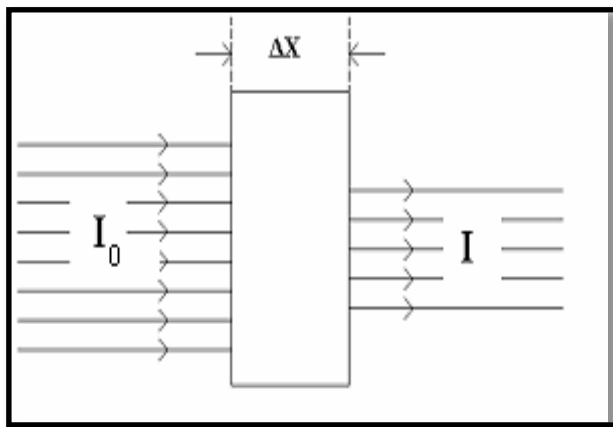
Şekil 11. α , β , nötron, γ ve x ışınının etkileri [34].

x ve γ ışınları madde ile etkileşimi üç farklı yolla gerçekleşmektedir. Bunlar; foto elektrik olayı, Compton olayı ve çift oluşum olaylarıdır. Bu olayların oluşma olasılıkları, x ve γ ışınları ile etkileşen maddenin atom

numarasına göre değişkenlik göstermektedir [35]. Radyasyon şiddetinde azalma olmasına radyasyonun zayıflaması, χ ve γ ışınları ile etkileşen maddeden uzaklaştırılan enerjiye ise soğrulma denilmektedir.

Lineer ve Kütle Zayıflatma Katsayıları

χ ve γ ışınları malzeme üzerinden geçtiği esnada fotoelektrik olayı, Compton saçılması, ışın demetlerinin şiddetlerinde azalma meydana gelmesidir. İlk aşamada I_0 şiddetindeki bir foton, Δx kalınlığındaki bir malzemenin içinden geçtiği esnada şiddeti dI kadar azalmaktadır. ışın şiddetindeki bu azalma, doğrudan malzemenin kalınlığı ile ilişkilidir (Şekil 12) ve denklem (1) ile bulunmaktadır [34].



Şekil 12. x ve γ ışını soğurmaları [20].

$$dI/\Delta x = -\mu dx \quad (1)$$

Denklem 1'de x 'e göre (kalınlığına) integrali alındığında, bir ışın demetinin soğurucudan geçtiği sıradaki foton şiddetinin değişimi Denklem 2 yardımıyla hesaplanabilir [34].

$$I = I_0 e^{-\mu x} \quad (2)$$

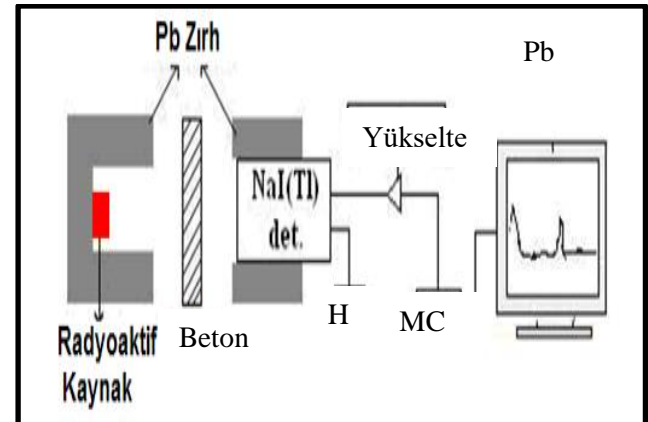
Denklemde μ katsayı (birimi cm^{-1}) soğurma katsayıdır [36],[37]. Lineer zayıflatma katsayı (LZK) soğurulan şartlarda birim uzunluğun etkileşmesi olasılığıdır. Compton, Fotoelektrik ve çift oluşum etkileşimleri σ , τ ve κ sembolleriley gösterilirler. Kısıtlı zayıflama katsayı ve toplam zayıflama katsayı σ , τ ve κ etkileşmesi sonucu meydana gelen zayıflatma katsayı toplamıdır (Denklem 3) [38],[39].

$$\mu = \tau + \sigma + \kappa \quad (3)$$

Fotonun ne kadar soğurulduğunun belirlenmesinde kullanılan bu bağıntı, bir foton ışın demetinin tamamen soğurulmasının mümkün olmadığını belirtmektedir. Ancak uygulamada soğurma çok yüksek oranda (algılanılamayan düzeyde) olabilmektedir. Bu oran kütle zayıflama katsayı (KZK) μ ile gösterilmektedir. KZK, denklem (4) ile hesaplanmaktadır [34].

$$\mu = \mu / \rho \quad (4)$$

Şekil 13, kullanılan fotoçoğaltı tüp (içinde bir fotokatod ile kademeli olarak artan voltaj olan bir dizi elektrot bulunan havası boşaltılmış cam bir tüp), yükselteç, çok kanallı analizörden ve önyükselteçten oluşan sistemin şematik olarak gösterilmektedir. Ölçüm öncesinde γ spektrometre cihazının kalibrasyonunun yapılması gerekmektedir.



Şekil 13. Fotoçoğaltı tüp ve yükselteç [40].

Elde edilen ölçümler neticesinde KZK Beer-Lambert eşitliği yardımıyla hesaplanabilmektedir.

$$\mu = \frac{1}{x} \ln \frac{I_0}{I} \quad (5)$$

Burada x mineral katkı (YFC) betonun kalınlığını, I_0 detektör ve kaynak arasındaki pik alanını (beton bulunmadığı durumda) ve I detektör ve kaynak arasında beton bulunduğu durumda pik alanı temsil etmektedir [40].

Zararlı Işınlara Kalkan Kullanımı

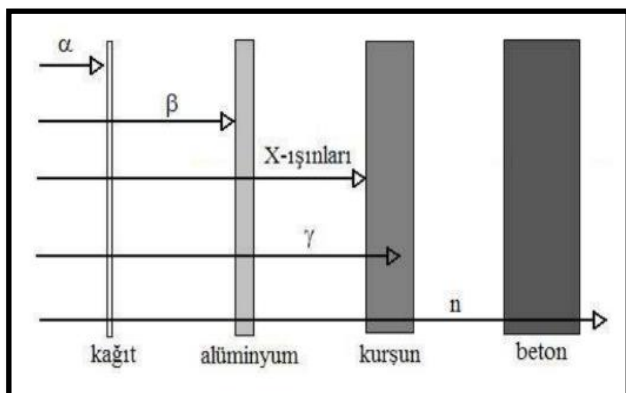
Yarı değer kalınlık (YDK) bir malzemenin üzerine gelen ışın demetlerinin yarısının kalınlığıdır. Malzeme üzerinden geçen ışın demetlerini %90 oranında düşüren kalınlık ise 10'da bir değer kalınlığıdır (ODK). Malzemelerin yarı değer kalınlıkları ve onda bir değer kalınlıkları Denklem 6 ve Denklem 7 yardımıyla hesaplanabilir ve bu denklemler yüksek zırhlama yapmak için kritik öneme sahiptirler [34]. Bu denklemler ışınlarının zırhlanmasında da etkilidir [34]. Bir malzeme içerisinde geçen radyasyon malzemenin atom numarası, öz kütlesi ve foton enerjileri ile yakından ilişkilidir. YDK bir radyasyon çeşidinin malzeme içerisinde ne derecede nüfuz ettiğini belirlemek için en sık tercih edilen yöntemdir. Şöyle ki YDK ve ODK değerleri doğru belirlendiğinde radyasyonun malzemenin diğer kalınlıklarındaki nüfuz etme oranları da belirlenebilmektedir [34]. Radyasyonun bir diğer şekli de herhangi bir elektrik yükü taşımayan nötronlardır. Nötronlar, yalnızca atom çekirdekleri ile çarpışmaları sonucu yavaşırlar. Malzemelerde nötron zırhlanması yapmak için üç sınıf malzemenin birleştirilmesi gerekmektedir. Oluşturulması gereken zırh atom numarası yüksek elementlerden meydana

gelmelidir. Böylece hızlı hareket eden nötronlar çarpışma sonucu yavaşlatılabilmektedir [29].

$$YDK = \ln 2 / \mu \quad (6)$$

$$ODK = \ln 10 / \mu \quad (7)$$

Radyasyona karşı malzeme giriciliklerinin karşılaştırılması Şekil 14'de gösterilmiştir.



Şekil 14. Radyasyona karşı malzeme giriciliklerinin karşılaştırılması [35],[41].

Ağır Betonda E-Modülü

Yapışal beton çok bileşenli (kompozit) bir malzeme olduğundan dolayı betonun E-modülünü, yoğunluğunu ve hacmini bileşimine giren malzemelerin özellikleri belirlemektedir. E-modülüne etkiyen bütün faktörler aslında betonun basınç dayanımını etkiyen faktörlerin kendisi olmaktadır. Ağır beton tasarıımı yapılrken kullanılan yüksek E-modülü iri agregalar, betonun E-modülünü de artırmaktadır. Ayrıca E-modültüne etkiyen diğer unsurlar; çimento hamurunun boşluklu yapısı, agregaların D_{maks} değeri, agregaların dağılımı ve yüzey şekli olmaktadır.

Ağır Beton Agregaları

Başlıca beton bileşenleri çimento, agrega ve su'dur [42]. Beton üretiminde maliyeti düşürmek ve dayanımı artırmak için yaklaşık %60-80 oranında agrega (kırma kum, kırmataş, çakıl vb.) kullanılmaktadır. Ağır beton üretmek için kullanılması gereken aggreganın özgül ağırlıkları 4.0 gr/cm^3 'ün üzerinde olmalıdır. Ağır beton üretiminde kullanılan başlıca agregalar limonit ($2\text{Fe}_2\text{O}_3 \cdot 2\text{H}_2\text{O}$), barit (BaSO_4), hematit (Fe_2O_3), manyetit (Fe_3O_4), viterit (BaCO_3), ilmenit (FeTiO_2), geotit ($\text{Fe}_2\text{O}_3 \cdot \text{H}_2\text{O}$) vb. doğal agregallardır. Yapay agrega olarak ise kurşun parçacıkları, demir saçmaları, ferrofosfor ($\text{Fe}_2\text{O}_3 \cdot \text{P}_2\text{O}_5$) ve ferrosilikon kullanılabilmektedir. Ağır beton üretiminde genellikle birim ağırlığını 3600 kg/m^3 'e kadar çıkarabilen barit (baryum sülfat) kullanılmaktadır [34].

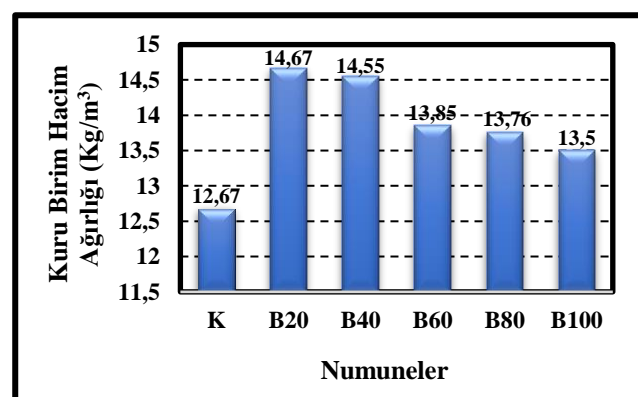
Barit Özellikleri

Ağır beton üretiminde sıkılıkla tercih edilen baritin özgül ağırlığı $4.2\text{--}4.6 \text{ kg/dm}^3$ arasında olup, erime noktası yaklaşık olarak 1580°C 'dir. Barit soğuk asit ve su içerisinde ermez. Ancak kaynayan sülfürik asit içerisinde az miktarda eriyebileceği belirlenmiştir. Yaklaşık olarak %90 saflikta bu kayaç kırma taş olarak kullanılmaktadır. Baritin kimyasal bileşimi en çok baryum mineralinden oluşmaktadır. Baritin içerisinde demir ve karbon bulunması nedeniyle farklı renklerde (kırmızı, kahverengi, sarı, siyah, mavı) olabilmektedir. Baritin içeriğini yaklaşık %94'ü saf BaSO_4 oluşturmaktır, ayrıca demir oksit, silis ve pirit mineralleri bulunmaktadır. Ağır beton üretmek için kullanılan baritin içerisinde (daha yüksek dayanım elde edebilmek için) %3-5 oranında silis minerali içeren kayaçlar tercih edilmektedir [43]. Barit özgül ağırlığı yüksek olmasına rağmen kolayca ufalanabildiğinden beton üretiminde karıştırma aşamasında özenli olmak gerekmektedir. Doğal durumdaki barit cevheri Şekil 15'de gösterilmiştir. Barit kayaçları ülkemizde kolay ulaşılabilir olmaları nedeniyle ağır agregali beton üretiminde sıkılıkla kullanılmaktadır [44],[45].



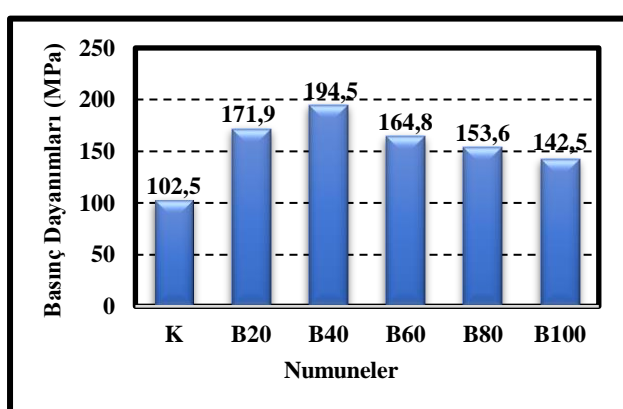
Şekil 15. Barit cevheri [1].

Radyasyona dirençli bir beton üretmek, yüksek basınç dayanımı ve yüksek dayanıklılık ile mümkün olabilmektedir.



Şekil 16. Barit oranı kuru birim hacim ağırlıkları [43].

Cünkü beton bünyesinde çatlaklar meydana gelmesi durumunda x ve γ ışınları beton içerisinde kolaylıkla gecebilmiştir. Şekil 16 beton sınıfına göre kuru birim hacim ağırlıklarını karşılaştırmaktadır. Yukarıdaki şekilde, K ile kontrol numunesi gösterilmiş, devamında ise karışımındaki baritin artması ile birlikte sırasıyla %20, 40, 60, 80 ve 100 oranındaki karışımların değerleri verilmiştir. Şekil 17'de kuru birim hacim ağırlık barit kullanımını ile kontrol numunesine göre artmış fakat barit yüzdesi arttıkça düşmüştür [43]. Şekil 17'de görüleceği üzere karışımındaki barit yüzdesinin artması ile basınç dayanımında kayda değer artışlar gerçekleşmiştir. Fakat barit oranının %100 kullanılması, %40'a göre daha az basınç dayanım değeri sağlamıştır, bunun nedeni kullanılan barit tozunun dayanımı olumsuz etki etmesidir [43].



Şekil 17. Öğütülmüş barit oranı basınç dayanımları [43].

Hematit Özellikleri

Hematit agregasının kimyasal bileşimi Fe_2O_3 'tür. Hematit madeni çelik grisi-siyah, pak siyah renklidir. Sertlik derecesi 5-6 arasında değişmekte beraber özgül ağırlıkları 5.26'dır. Bir demir minerali olan hematit agregası hidrotermal damarlarda ve magmatik kayaçlarda aksesuar minerali olarak bulunmaktadır [1].

Limonit Özellikleri

Limonit ($Fe_2O_3 \cdot xH_2O$), genellikle sarı renkli, yumuşak veya kahverengi, sert bir demir minerali olup, demir cevheri içeriği için pigment olarak da kullanılmakta, %60 demir cevheri içeriğinden ağır beton üretiminde de kullanılmaktadır. Sertliği 5-5.5 değerleri arasında olup yoğunluğu 3.8-4.3 gr/cm^3 arasında olmaktadır. Saf limonit %60 oranında demir %14 oranında ise su içermektedir. Rengi demir siyahıdır [1]. Limonit, manyetit ve hematit'den daha düşük kalitede olarak başlıca Fransa, Küba ve Kanada'da bulunmaktadır. Esen [46] normal ve limonit donatılı betonun radyasyon zırhlama özellikleri ve bazı fizikal ve mekanik özellikleri üzerinde deneyel bir çalışma yapmıştır. Bu amaçla standartlara göre hazırlanan normal betonlar yerine aynı oranlarda limonit eklenmesi ile

agregalar hacimce yaklaşık olarak %20, 40, 60, 80 ve 100 oranlarında azaltılmış ağır beton karışımı hazırlamıştır. Limonit takviyesi ile üretilen betonun su emme miktarı artmış, basınç ve eğilme dayanımı ise azalmıştır. Ayrıca radyasyon geçirgenliği de önemli ölçüde azalmıştır.

İlmenit Özellikleri

$Fe^{+2}TiO_3$ formülü olan ilmenit cevheri birçok magmatik ve metamorfik kayaçlarda bulunan bir aksesuar minerali olup, masif, taneli bir kristal biçimine sahip olmaktadır. Sertlik indeksi 5-6 değerleri arasında, özgül ağırlığı ise 4,72'dir. İlmenit cevheri siyah-kahverengimsi renge sahiptir. İlmenit cevheri hematitten çizgilerinin renkleriyle ayırtılmaktadır. Pegmatitlerde, kuvars damarlarında ve bazı gnayslarda kalkopirit ve hematit ile bulunmuştur [1].

Manyetit Özellikleri

Manyetitin kimyasal bileşimi Fe_3O_4 , kristal kafes yapısı kübik, 5,5-6,5 derecesinde sertliğe sahiptir. Metalik bir parlaklığa sahip olan bu agreganın yoğunluğu 5,175-5,197 gr/cm^3 değerleri arasındadır. Manyetit agregasını diğer agregalardan ayıran en önemli özelliği kuvvetli çekme kabiliyeti ve siyah çizgi rengine sahip olmasıdır. Manyetitler metamorfik kayaçlarda, sülfit yataklarında, pegmatitlerde vb. kayaçlarda bulunmaktadır [1].

Ferrofosfor Özellikleri

Ferrofosfor, yüksek özgül ağırlığı nedeniyle ağır beton yapımında kullanılan bir mineraldir. Bu mineral fosfor üretiminde meydana gelmekte, doğal ve yapay agregalar olarak zırh betonu üretmek için kullanılmaktadır. İçeriğinde yaklaşık olarak %70 oranında demir bulunmaktadır. Özgül ağırlığı yaklaşık olarak 5,72-6,8 arasındadır. Ferrofosfor cevherleri sıkıştırıldığında yüksek basınçlı gazlar oluşturmaktadır. Bu nedenle bu agregalar betonda kullanılmadan önce laboratuvara test edilmelidir [15].

Siderit Özellikleri

Kimyasal bileşimi $FeCO_3$ olan siderit cevheri, hezagonal kristal kafes yapısına sahiptir. Sertliği 3,5-4, özgül ağırlığı 3,96'dır. Siderit cevheri genellikle açık sarı, sarı gri karışımı, açık yeşil, sarımsı kahverengi, gri, koyu kahverengi renklere sahip olmasının yanı sıra nadiren beyaz ya da renksiz de olabilmektedir. Ayrıca saf halde %48'e kadar demir içermektedir [1].

Kolemanit Özellikleri

Kolemanit, nötron radyasyon zırh betonlarında aggrega olarak kullanılabilen doğal bir borattır. Kimyasal formülü $CaB_3O_4(OH)_3H_2O$, kristal kafes yapısına sahiptir. Şekil

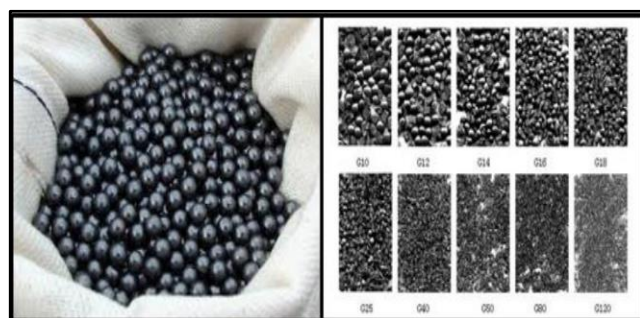
18'de görülen kolemanitin sertliği 4,5, yoğunluğu ise 2.42 g/cm^3 'dür. Renksiz bir yapıya sahip olan kolemanit, kristal yapısı ve dizilimi mükemmeldir. Genellikle kurak iklim bölgelerindeki tuz göllerindeki boraks ile birlikte oluşan kolemanitin görünümü Şekil 18'de gösterilmiştir [15].



Şekil 18. Kolemanit görünümü [15].

Çelik Saçma ve Parçaları

Çelik saçma ve parçaların yoğunluğu $6,2\text{-}7,8 \text{ g/cm}^3$ arasında olup, ağır beton üretiminde yapay agregat olarak kullanılmaktadır. Çelik saçma ve parçalarına ait görünüm Şekil 19'da verilmiştir [15].



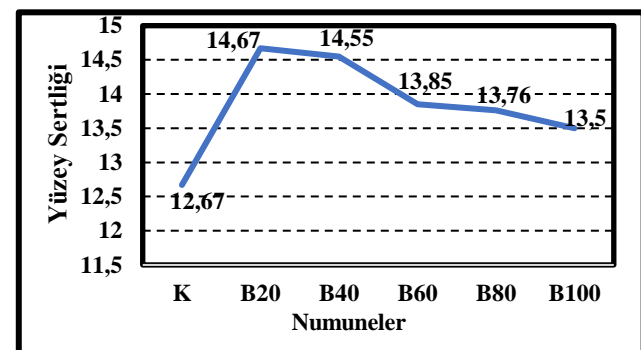
Şekil 19. Çelik saçma ve parçaların görünümü [15].

Ağır Agregaların Kullanımı

Ağır agregalar, köselinin keskin olmaları nedeniyle beton üretiminde kullanılmalari bazı problemlerle karşılaşmasına neden olabilmektedir. Bu sorunları bertaraf edebilmek için incilik modülü düşük agregaların tercih edilmesi gerekmektedir. Ayrıca betonun yeterli işlenebilirliği kazanabilmesi amacıyla ek tedbirlerin de alınması büyük önem arz etmektedir. Ayırışma olusmaması için karışım tasarılanırken kaba ve ince agregaların yüksek yoğunlukta olmasına özen gösterilmelidir. Önceki yapılan araştırmalarda ağır beton üretiminde, iki aşamalı olarak (ön aggrega yerleştirilmesi ve gömülü parçaların etraflarına beton dökümü) ayırtmanın azaltılabilcegi belirlenmiştir [29].

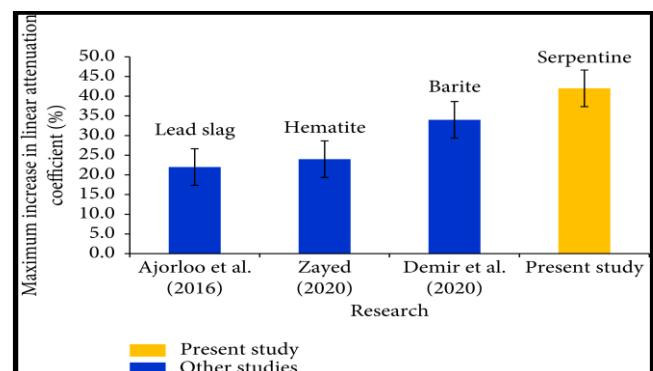
Ağır betonların aşınmalarının normal betonlara göre yüksek olması da ağır betona avantaj sağlamıştır (Şekil 20). Ancak

ağır beton ortalaması büzülmesi geleneksel betonlarından %30 daha fazladır. TS 3440 [47] kriterlerine göre üretilen geleneksel betonların dayanıklılıklarının yüksek olması istenmektedir. Radyasyona dirençli bir beton üretmek için ise zararlı su, zemin ve gazlara karşı önlem alınmasına gerek bulunmaz. Ancak; radyasyona dirençli ağır beton 28 günlük basınç dayanımı en az 60 MPa olmalıdır [34].



Şekil 20. Schmidt sertliğinin barit oranı ile değişimi [43].

Şekil 21, ağır betonda kullanılan kurşun cüruf, hematit, barit ve serpantin agregalarının doğrusal zayıflama katsayılarındaki artış oranlarını karşılaştırmaktadır. Serpantit ve barit agregalarıyla üretilen betonların radyasyon işinlerini korumada daha etkili olabileceği belirlenmiştir [48]-[51].

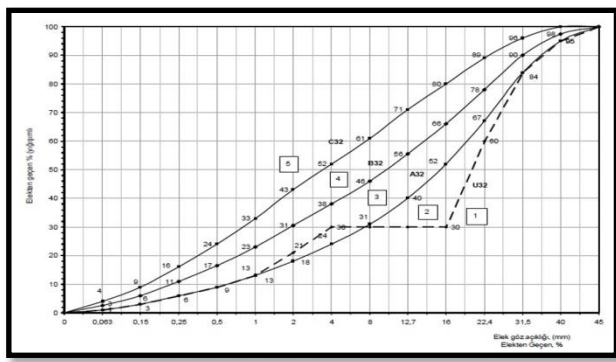


Şekil 21. Ağır beton üretiminde kullanılan kurşun cüruf, hematit, barit ve serpantin agregalarının doğrusal zayıflama katsayılarındaki artış oranlarının karşılaştırılması [8].

Ağır Betonların Karışım Yöntemleri

Ağır beton karışım hesap yöntemlerinde TS 802 [52]'de belirtilen yöntemlerle uygulanmaktadır. Ağır beton tasarımda kullanılan özel ve yoğunluğu yüksek olan aggrega daneleri arasında boşluk oranı ve çatlama riskinin en az düzeyde olacak şekilde tasarlanmasına dikkat edilmelidir. Homojen ve dayanıklı ağır beton elde etmek için aggrega granülometri eğrisinin Şekil 22'de belirtilen standartlarda verilen eğriler arasında kalmasına özen gösterilmelidir.

Ayrıca ağır beton üretimi sırasında karışım düzgün bir şekilde karıştırılmalı, sonra yerleştirilme işlemlerinin doğru yapılmasına, cimentonun hidratasyon reaksiyonunun sağlanması için uygun miktarda karışım suyu kullanılmasına dikkat edilmelidir. Beton tasarımındaki en önemli husus s-ç oranının seçimi olmaktadır. Seçilen cimento dozajının hem radyoaktif geçirimsizlik için yüksek olması hem de rötden kaynaklanan çatlakların oluşmaması için çimento dozajı 350 kg/m^3 den büyük ve s/c oranı 0.50' nin altında olmalıdır [1].



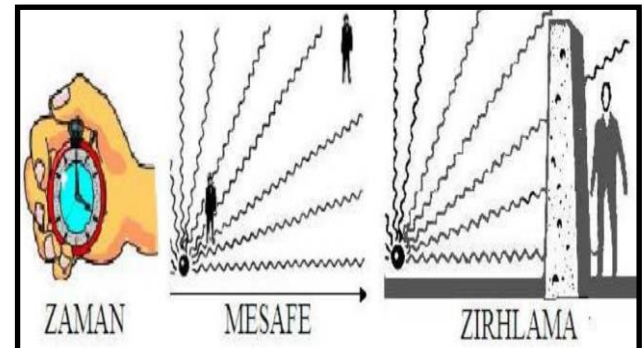
Şekil 22. D_{\max} . 16 mm agregat granülometri eğrisi [1].

Ağır Betonun Yerine Yerleştirilmesi

Bilinen yöntemler karıştırma ve yerleştirme için kullanılmaktadır. Bununla birlikte mikserin aşırı yüklemesine genellikle çelik türü ağır agregalar yol açmaktadır. Betonun yerleşmesi vibrasyon ile sağlanmaktadır. Ağır beton içerisinde kullanılacak olan karışım suyunun ise temiz ve berrak olmasına dikkat edilmeli ve içinde kıl, yağ, alkali ve asitler bulunmamalıdır [1]. Ağır beton üretim aşamasında mikserin tamamen doldurulması gerekmektedir. Aşırı karıştırma iri agreganın dibe çöküp taze betonun ayrışmasına yol açmaktadır. Ağır agregaların, temel sorunlarından biri ayrışma oluşturmasıdır. Beton tabakası en fazla 25 cm kalınlığında olması gerekmektedir [43]. Ağır betonların iletildiğinin zor olan yapılarda enjeksiyon ya da prepakt teknikleri uygulanmalıdır [15]. Bu amaçla harçlarda özgül ağırlığı 3.0-3.5 arası olan barit kumu ve yaklaşık 0.8 s-ç oranı kullanılır. Bu yöntem normal beton yerleştirilmesinde de kullanılmaktadır.

Radyasyondan Korunma

Günümüzde radyasyonun insanlar üzerindeki olumsuz etkileri oldukça fazla olduğundan radyasyona olabildiğince az maruz kalınmalıdır. Radyasyondan kaçınılması imkânsız olduğu durumlarda ise birtakım önlemlerin alınması gerekmektedir. Bu sürecin tamamına radyasyondan korunma denir. Serbest ve dış kaynaklı radyasyon etkisinden kaçınmanın 3 önemli yolu Şekil 23'de gösterilmiştir [23],[29]. Radyasyonun zırhllanması; radyasyonun nasıl olduğunu, malzemede nasıl değişiklikler gösterdiğini ve alınması gereken önlemleri inceleyen bir bilim dalıdır.



Şekil 23. Dış radyasyondan korunmanın kuralları [29].

Zaman Kuralı (Time Rule)

Radyasyon yayınınının olduğu tehlikeli bir bölgede vücutundan maruz kaldığı radyasyon etkisi zamanla doğru orantılıdır, yani bulunulan bölgede ne kadar fazla kalınırsa maruz kalınan doz da o derece artmaktadır. Dolayısıyla böyle bir tehlike durumunda bölgeden acilen uzaklaşılmalı ve bölge tekrin edilmelidir. Tehlikeli hal bitene kadar hiçbir canının bölgeye girilmesine izin verilmemelidir [23],[29].

Uzaklık Kuralı (Distance Rule)

Radyasyonu oluşturan kaynaktan uzaklaşıkça radyasyonun oluşturabileceği olumsuz etki de azaltılabilir. Bu nedenle radyasyondan korunmanın en etkili yolu radyasyon kaynağından uzaklaşmaktır [34].

Zırhlama Kuralı (Shielding Rule)

Radyasyon oluşturan merkez ile diğer canlılar arasına, bu etkiyi azaltacak engeller konulması zırhlamadır. Bu engeller ağır betonlar ve kurşun levhalar ile olmaktadır [53].

Radyolojik Olaylar ve Kazalar

Teknolojik gelişmeler ile artan radyoaktif madde kullanımı nükleer kazaların meydana gelmesine neden olabilmektedir. Bilim insanları oluşturabilecek nükleer kazaların boyutunu belirlemek için yeni bir yöntem geliştirmiştir. Geliştirilen ölçüye göre iki seviye arasında 10 kat önemli olayların olduğu belirlenmiştir.



Şekil 24. Uluslararası nükleer ve radyolojik ölçegi [29].

Uluslararası nükleer ve radyolojik olay ölçüği Şekil 24'de gösterilmiştir. Şekil 24 incelendiğinde radyasyonun çok geniş bir alana etki edebileceği belirlenmiştir. Örnek olarak Ukrayna'da meydana gelen nükleer kaza (Çernobil) çok geniş bir bölgeyi etkilemiştir. Verilebilecek bir diğer örnek ise Japonya'da 2011'de meydana gelen deprem sonrası tsunami oluşması ve Fukushima Daiichi Nükleer Enerji Santrali'nde büyük hasar oluşturmasıdır. Bu nükleer hasar yaklaşık 500 bin kişinin evlerinden olmasına neden olmuştur [29].

Sonuç ve Öneriler

Bu araştırma ile ağır betonlar ve ultra yüksek dayanımlı ağır betonlar üzerine yapılmış son yillardaki çalışmalar derlenmiştir. Araştırma sonucunda ağır betonlar hakkında genel bilgiler verildikten sonra, bu konu hakkındaki yenilikler ve gelişmeler gözden geçirilmiştir. Çalışmadan çıkarılacak genel sonuçlar aşağıda maddeler halinde özetlenmiştir.

- Ağır betonda dozaj 350 kg/m^3 'den fazla ise hidratasyon ısısı düşük çimentolar kullanılmalıdır. Ağır betonlarda agreganın ağırlığı nedeniyle ayırtma riski bulunmaktadır. Bunu önlemek için karıştırma süresi olabildiğince az tutulmalı ve agregat dağılımında ince taneler seçilmelidir

- Ağır betonlar normal betonlara göre oldukça yüksek miktarda radyasyon ışınlarını soğurabilmektedir. Siderit agregatlarıyla üretilen ağır betonlarda en iyi ultrases değerleri elde edilmiştir. Kırmatas agregat ile üretilen normal betonların ve barit agregat kullanılarak üretilen ağır betonların ultrases değerlerinin birbirine yakın oldukları gözlenmiştir.
- Ağır betonlarda %40 oranında barit kullanılması, radyasyon güvenliği açısından optimum sonucu vermektedir. Kendiliğinden yerleşen ağır betonun özellikle deprem riski yüksek olan bölgelerde yapı ağırlığının artırmasıyla beraber yapıya gelecek deprem kuvvetinin artmasına neden olacağından konut tipi yapılarda kullanılmamalıdır.
- Ağır beton üretiminde barit ve serpantit agregatlarının kullanılması önerilmektedir.
- Nükleer açıdan tehlikeli yapılarda (nükleer santral vb.) ve radyasyon açısından yalıtım yapılması gereken yapı elemanlarında (hastanelerde radyoaktif zırh gereken kimselere) ağır betonların kullanılması insan ve çevre sağlığı açısından büyük önem arz etmektedir.

Literatürdeki araştırmalar incelendiğinde, ülkemizin bilim insanları radyasyona dirençli beton üretimi üzerine en çok araştırma yapan ülkeler arasındadır. Türkiye bilim insanları tarafından bu konuya ilgili 2022 yılı sonuna kadar toplam 52 araştırma yapılmış olup, çalışmalarına toplam 2040 atıf almıştır. Radyasyonun etkileri ve korunması için ağır betonlar hakkında daha kapsamlı çalışmalar yapılması ile insan sağlığı ve çevre sağlığı korunabilir.

Kaynaklar

- [1] Z. Topçuoğlu, "Barit Agregası Kullanılarak Kendiliğinden Yerleşen Ağır Beton Üretebilirliğinin Araştırılması," YL Tezi, Fırat Univ., FBE, 78s, 2021.
- [2] M. H. Lai, K. J. Wu, X. Cheng, J. C. M. Ho, J. P. Wu, J. H. Chen, A. J. Zhang, "Effect of fillers on the behaviour of heavy-weight concrete made by iron sand," *Progress in Nuclear Energy*, 332, 127357, May. 2022.
- [3] M.U. Khan, S. Ahmad, A. A. Naqvi, H. J. Al-Gahtani, "Shielding performance of heavy-weight ultra-high-performance concrete against nuclear radiation," *Progress in Nuclear Energy*, 130, 103550, Dec. 2020. <https://doi.org/10.1016/j.pnucene.2020.103550>
- [4] R. Farokhzad, A. Dadashi, A. Sohrab, "The effect of ferrophosphorus aggregate on physical and mechanical properties of heavy-weight concrete," *Progress in Nuclear Energy*, 299, 123915, Sep. 2021. <https://doi.org/10.1016/j.conbuildmat.2021.123915>
- [5] M. O. Azeez, A. Shamsad, U. Salah, M. M. Al-Dulaijan, A. N. Akhtar, "Radiation shielding performance of heavy-weight concrete mixtures," 284-291, 224, Nov. 2019.<https://doi.org/10.1016/j.conbuildmat.2019.07.077>
- [6] O. Lotfi-Omrani, A. Sadramomtazi, I.M. Nikbin, "The influences of maximum aggregate size and cement content on the mechanical and radiation shielding characteristics of heavyweight concrete," *Progress in Nuclear Energy*, 121, March 2020. 103222. <https://doi.org/10.1016/j.pnucene.2019.103222>
- [7] B. Aygün, "Neutron and gamma radiation shielding properties of high-temperature-resistant heavy concretes including chromite and wolframite," *Journal of Radiation Research and Applied Sciences*, 2019, Vol. 12, No. 1, pp. 352-359, Jan. 2019. <https://doi.org/10.1080/16878507.2019.1672312>
- [8] A. Ardiansyah, T. Dahlang, H. Heryanto, A. Bidayatul, S. Hassan, S. Abdelmoneim, A. B. David, "Science mapping for concrete composites as radiation shielding: A review," *Radiation Physics & Chemistry*, Vol.207, 110835., 2023, <https://doi.org/10.1016/j.radphyschem.2023.110835>

- [9] C. Chen, C. Li, G. Reniers, F. Yang, "Safety and security of oil and gas pipeline transportation: a systematic analysis of research trends and future needs using WoS," *J. Clean. Prod.*, Vol. 279, 123583, Jan. 2021. <https://doi.org/10.1016/j.jclepro.2020.123583>
- [10] M. Ding, H. Zeng, "A bibliometric analysis of research progress in sulfate-rich wastewater pollution control technology," *Ecotoxicol. Environ. Saf.*, Vol. 238, 113626, 2022. <https://doi.org/10.1016/J.ECOENV.2022.113626>
- [11] Z. Pei, S. Chen, L. Ding, J. Liu, X. Cui, F. Li, F. Qiu, "Current perspectives and trend of nanomedicine in cancer: a review and bibliometric analysis," *J. Contr. Release* vol. 352, pp. 211-241. Dec. 2022. <https://doi.org/10.1016/j.jconrel.2022.10.023>
- [12] K. G. Mahmoud, M. S. Alqahtani, O. L. Tashlykov, V. S. Semenishchev, M. Y. Hanfi, "The influence of heavy metallic wastes on the physical properties and gamma-ray shielding performance of ordinary concrete: Experimental evaluations," *Radiation Physics and Chemistry*, vol. 206 110793, May. 2023.
- [13] M. F. Gashti, S. H. G. Mousavinejad, S. J. Khaleghi, "Evaluation of gamma and neutron radiation shielding properties of the GGBFS based geopolymmer concrete," *Construction and Building Materials*, vol. 367, 130308, 2023. <https://doi.org/10.1016/j.conbuildmat.2023.130308>
- [14] R. Mehrnejad, "Nötron Radyasyona Karşı Zırhlama Amacıyla Karma Lifli Ağır Beton Üretilmesi," FBE, Atatürk Üniv., Erzurum, Doktora Tezi, 2015.
- [15] E. Bakırhan, "Kurşun Maden Atığı Katkılı Ağır Betonların Radyasyon Soğurma Katsayılarının 662-1460 Kev Enerji Aralığında İncelenmesi," YL Tezi, Gümüşhane Üniv., FBE, Gümüşhane, 2017.
- [16] M. Demirci, "Pirit, Krom ve Magnetit Agregalı Ağır Betonların Mekanik ve Radyasyon Soğurma Özelliklerinin Tayini," YL Tezi, Recep Tayyip Erdoğan Üniv., FBE, Rize, 2018.
- [17] M.H. Kharita, S. Yousef, M. AlNassar, "The effect of carbon powder addition on the properties of hematite radiation shielding concrete," *Progress in Nuclear Energy*, Vol. 51, pp. 388-392, March 2009. <https://doi.org/10.1016/j.pnucene.2008.10.002>
- [18] I.M. Nikbin, R. Mohebbi, S. Dezhampannah, S. Mehdipour, R. Mohammadi, T. Nejat, "Gamma ray shielding properties of heavy-weight concrete containing Nano-TiO₂," *Radiat. Phys. Chem.*, Vol. 162, pp. 157-167, 2019. <https://doi.org/10.1016/j.radphyschem.2019.05.008>
- [19] D. Rezaei Ochbelagh, S. Azimkhani, H. Gasemzadeh Mosavinejad, "Effect of gamma and lead as an additive material on the resistance and strength of concrete," *Nuclear Engineering and Design*, Vol. 241, No. 6, pp. 2359-2363, Jun. 2011. <https://doi.org/10.1016/j.nucengdes.2011.03.001>
- [20] İ. Akkurt, H. Akyıldırım, B. Mavi, S. Kılincarslan, C. Başyigit, "Yüksek fırın curüflu betonların radyasyon soğurma karakteristiklerinin belirlenmesi," Eng. Sci., Vol. 6, No. 4, 2011.
- [21] T. Korkut, A. Karabulut, G. Budak, B. Aygun, O. Gencel, A. Hancerliogullari, "Investigation of neutron shielding properties depending on number of boron toms for colemanite, ulexite and tinal ores by experiments and FLUKA Monte Carlo simulations," *Applied Radiation and Isotopes*, Vol. 70, no.1, pp. 341-345, 2012. <https://dx.doi.org/10.1016/j.apradiso.2011.09.006>
- [22] D. Revuelta, A. Barona, D. Navarro, "Measurement of Properties and of The Resistance to Segregation in Heavyweight, Self-Compacting Barite Concrete," *Materiales de Construcción*, Vol. 59, pp. 31-44, July 2009.
- [23] S.İ. Çaklı, "Ağır Betonların Elastisite Modülünün Modelleme," S. Demirel Üniv., FBE, Isparta, 2013.
- [24] B. Güreş, "Kahramanmaraş (Şekeroba) Baritinin Ağır Beton Tasarımında Paketleme Modeliyle Değerlendirilmesi," İTÜ, FBE, İstanbul, 2018.
- [25] M. U. Khan, S. Ahmad, A. A. Naqvi, H. J. Al-Gahtani, "Shielding performance of heavy-weight ultra-high-performance concrete against nuclear radiation," *Progress in Nuclear Energy*, Vol.103, 103550, Dec. 2020. <https://doi.org/10.1016/j.pnucene.2020.103550>
- [26] T.A. El-Sayed, "Performance of heavy weight concrete incorporating recycled rice straw ash as radiation shielding material," *Progress in Nuclear Energy*, Vol.135, 103693, May. 2021. <https://doi.org/10.1016/j.pnucene.2021.103693>
- [27] B. Aygün, E. Şakar, O. Agar, M. I. Sayyed, A. Karabulut, V. P. Singh, "Development of new heavy concretes containing chrome-ore for nuclear radiation shielding applications," *Progress in Nuclear Energy*, vol. 133, 103645, March 2021. <https://doi.org/10.1016/j.pnucene.2021.103645>
- [28] H. S. Gökçe, "Yüksek Kivama Sahip Barit Agregalı Ağır Betonların Segregasyon Özellikleri ve Γ İşimi Soğurma Katsayılarının Belirlenmesi," Doktora Tezi, Ege Üniv., FBE, İzmir, 2018.
- [29] M. Gümüş, "Yüksek Sıcaklığa Maruz Bırakılan Polipropilen Lifli Ağır Betonların Γ İşimi ve Nötron Soğurma Performansları," YL tezi, Kırıkkale Üniv., FBE, Kırıkkale, 2019.
- [30] D. Erdek "Yüksek kivamlı barit agregalı ağır betonların radon salınım hızlarının ölçülmesi," YL tezi, Ege Üniv., Nükleer Fizik Yüksek Bölümü, İzmir, 2021.
- [31] H. E. Johns, J. R. Cunningham, "The Physics of Radiology," 4th ed., C. Thomas, 1983. <http://moreauhupet.hopto.org>
- [32] B. T. Price, C. C. Horton, K. T. Spinney, "Radiation Shielding, Pergamon Press," London-NewYork, 1957.
- [33] İ. Akkurt, H. Akyıldırım, A. Calik, O. B. Aytar, N. Uçar, "Gamma Ray Attenuation Coefficient of Microalloyed Stainless Steel," *Arabian Journal for Science and Engineering*, Vol. 36, pp. 145-149, Jan. 2011. <https://doi.org/10.1007/s13369-010-0013-9>

- [34] D. Kaya, "Normal Beton ve Özel Amaçlı Betonların Γ Radyasyonunu Zırhlama Özelliklerinin İncelenmesi," YL Tezi, İTÜ, Enerji Enst., İstanbul, 2019.
- [35] J. E. Martin, "Physics for Radiation Protection," 2nd Ed., in *Wiley-VCH Verlag GmbH & Co.*, Weinheim, USA, 2006, pp. 84.
- [36] R. G. Jaeger, E. P. Blizzard, A. B. Chilton, A.B., M. Grotenhuis, A. Hönig, T. A. Jaeger, H. Eisenlohr, "Engineering Compendium on Radiation Shielding," *Springer-Verlag*, pp. 537, New York, 1968.
- [37] I.I. Bashter, "Calculation of radiation attenuation for shielding concrete," *Annals of Nuclear Energy*, Vol. 24, No. 17, pp. 1389-1401, 1997.
- [38] J. Shapiro, "Radiation Protection," *A Guide for Scientists, Regulators, and Physicians, Fourth Edition*, Harward University Pres. Cambridge, pp. 688, 1972.
- [39] J. H. Hubbell, "Photon Mass Attenuation and Energy Absorption Coefficients from 1 keV to 20 MeV," *Int. J. Appl. Radiat. Isot.*, Vol. 33, pp. 1269, 1982.
- [40] H. Akyıldırım, "Ağır Betonların Nükleer Radyasyon Zırhlama Özelliklerinin Araştırılması," Doktora Tezi, Süleyman Demirel Üniv., FBE, Isparta, 2011.
- [41] K. Arshak, O. Korostynska, "Advanced Materials and Techniques for Radiation Dosimetry," *Artech House*, pp. 220, London, 2006.
- [42] İ.B. Topçu, T. Uygunoğlu, Yapı Malzemesi, Nobel Akademik Yayıncılık, 396s, 2021.
- [43] B. Yılmazer, "Muş Yöresinden Temin Edilen Baritin Kullanımı İle Elde Edilen Ağır Betonun Fiziksel ve Mekaniksel Özelliklerinin Araştırılması," FBE, Fırat Üniversitesi, Elazığ, YL Tezi, 2009.
- [44] İ.B. Topçu, "Properties of heavyweight concrete produced with barite," *Cement and Concrete Research*, vol. 33, no. 6, pp. 815-822, 2003. [https://doi.org/10.1016/S0008-8846\(02\)01063-3](https://doi.org/10.1016/S0008-8846(02)01063-3)
- [45] İ.B. Topçu, A. Uğurlu "Barit ile üretilen ağır betonlar üzerine bir çalışma," *Beton Prefabrikasyon*, vol. 67, pp. 51-57, Tem. 2003.
- [46] Y. Esen, A. Kurt, E. Orhan, "Öğütülmüş Barit İle Üretilen Betonun Basınç Dayanımı ve Fiziksel Özelliklerinin Deneysel Olarak Araştırılması," *Eng. Sci.*, Vol. 6, No. 4, pp. 1281-1290, 2011.
- [47] TS 3440, Betona zararlı etkileri olan su, zemin ve gazların değerlendirilmesi - Prensipler, sınır değerler, su ile zemin numunelerinin alınması ve analizleri, TSE, Ankara, 2019.
- [48] A. Sayyadi, Y. Mohammadi, M. R. Adlparvar, "Mechanical, Durability, and Gamma Ray Shielding Characteristics of Heavyweight Concrete Containing Serpentine Aggregates and Lead Waste Slag," *Advances in Civil Engineering*, pp. 1-11, 7873637, 11. 2023. <https://doi.org/10.1155/2023/7873637>
- [49] A. Ajorloo, A. Yadollahi, A. Zolfaghari, "Protection against gamma rays with heavy concrete application of lead slag-containing," *Journal of Engineering Geology*, Vol. 9, No. 4, pp. 3193-3206, 2016. <https://doi.org/10.18869/acadpub.jeg.9.4.3193>
- [50] A. M. Zayed, M. A. Masoud, A. M. Rashad, A. M. El-khayatt, K. Sakr, W. A. Kansouh, M. G. Shahien, "Influence of heavyweight aggregates on the physico-mechanical and radiation attenuation properties of serpentine-based concrete," *Construction and Building Materials*, Vol. 260, 120473, Nov. 2020. <https://doi.org/10.1016/j.conbuildmat.2020.120473>
- [51] F. Demir, G. Budak, R. Sahin, A. Karabulut, M. Oltulu, A. Un, "Determination of radiation attenuation coefficients of heavyweight and normal-weight concretes containing colemanite and barite for 0.663 MeV c-rays," *Annals of Nuclear Energy*, Vol. 38, No. 6, pp. 1274-1278, 2011.
- [52] TS 802 "Beton Karışım Tasarımı Hesap Esasları" TSE, Ankara, Mart 2016.
- [53] İ. Akkurt, C. Başyigit, S. Kılınçarslan, B. Mavi, "The shielding of γ -rays by concretes produced with barite," *Progress in Nuclear Energy*, vol. 46, no. 1, pp. 1-11, 2005. <https://doi.org/10.1016/j.pnucene.2004.09.015>